

文章编号: 1000-324X(2015)10-1056-07

DOI: 10.15541/jim20150118

# 尖晶石型 $\text{CuAl}_2\text{O}_4$ 掺杂对 $\text{CaCu}_3\text{Ti}_4\text{O}_{12}$ 陶瓷介电性能的影响

李建英, 侯林林, 贾然, 高璐, 武康宁, 李盛涛

(西安交通大学 电力设备电气绝缘国家重点实验室, 西安 710049)

**摘要:** 研究了尖晶石型  $\text{CuAl}_2\text{O}_4$  掺杂对  $\text{CaCu}_3\text{Ti}_4\text{O}_{12}$  陶瓷显微结构、介电性能以及松弛特征和缺陷结构的影响。在频率为  $10^{-1}\sim 10^7$  Hz、温度为 153~453 K 的条件下测量了样品的介电性能。研究表明, 适量添加  $\text{CuAl}_2\text{O}_4$ , 使样品晶粒尺寸减小并趋于均匀, 击穿场强从  $\text{CaCu}_3\text{Ti}_4\text{O}_{12}$  陶瓷样品的 3.0 kV/cm 提高到 13.0 kV/cm, 低频介电损耗减小。介电松弛中的高频松弛过程起源于晶粒本征缺陷的电子松弛过程, 其活化能 $\sim 0.10$  eV 基本不变; 随着  $\text{CuAl}_2\text{O}_4$  含量增加, 与界面相关的松弛活化能从 0.50 eV 减小到 0.22 eV, 可能与  $\text{CuAl}_2\text{O}_4$  在样品中引入杂质及更复杂的界面有关; 电导活化能从 0.66 eV 增至 0.86 eV, 归因于  $\text{CuAl}_2\text{O}_4$  第二相抑制了晶界处的载流子跳跃, 提高了 Schottky 势垒高度。 $\text{CuAl}_2\text{O}_4$  掺杂量大于 100 mol%, 过量  $\text{CuAl}_2\text{O}_4$  会导致样品晶界势垒崩塌, 样品失去非欧姆特性和巨介电性能。

**关键词:**  $\text{CaCu}_3\text{Ti}_4\text{O}_{12}$ ; 介电性能; 压敏特性

中图分类号: TM281 文献标识码: A

## Influences of $\text{CuAl}_2\text{O}_4$ Doping on the Dielectric Properties of $\text{CaCu}_3\text{Ti}_4\text{O}_{12}$ Ceramics

LI Jian-Ying, HOU Lin-Lin, JIA Ran, GAO Lu, WU Kang-Ning, LI Sheng-Tao

(State Key Laboratory of Electrical Insulation and Power Equipment, Xi'an Jiaotong University, Xi'an 710049, China)

**Abstract:** The influences of  $\text{CuAl}_2\text{O}_4$  doping on the microstructure and dielectric relaxation of  $\text{CaCu}_3\text{Ti}_4\text{O}_{12}$  (CCTO) ceramics were investigated. The dielectric properties were measured in the frequency from  $10^{-1}$  Hz to  $10^7$  Hz under the temperature from 153 to 453 K. It was found that reduced CCTO grains as well as improved microstructure were achieved by addition of 30mol%~50mol%  $\text{CuAl}_2\text{O}_4$ . When sintered at 1100°C for 4 h, enhanced electric breakdown field of 13 kV/cm was obtained with 50mol%  $\text{CuAl}_2\text{O}_4$  addition, while its dielectric loss at low frequency was greatly suppressed. Three energy levels of dielectric relaxation processes were found. It is suggested that energy level 1 eV of  $\sim 0.10$  eV, corresponding to high frequency relaxation and barely varied with  $\text{CuAl}_2\text{O}_4$  addition, is attributed to the intrinsic electronic relaxation. Energy level 2 decreased from 0.50 eV to 0.22 eV with increased additional  $\text{CuAl}_2\text{O}_4$ , possibly resulted from multi impurities and boundaries. The energy level of conduction process rose from 0.66 eV to 0.86 eV with increased  $\text{CuAl}_2\text{O}_4$  addition, which can be attributed to the block effect of more grain boundaries. In addition, the excessive content  $\text{CuAl}_2\text{O}_4$  resulted in collapse of grain boundary barrier, leading to the vanish of non-ohmic properties and high dielectric constant.

**Key words:**  $\text{CaCu}_3\text{Ti}_4\text{O}_{12}$ ; dielectric properties; varistor properties

收稿日期: 2015-03-05; 收到修改稿日期: 2015-05-13

基金项目: 国家自然科学基金(51177121, 51221005); 陕西省自然科学基础研究计划(2015JM5234)

National Natural Science Foundation of China(51177121, 51221005); Natural Science Foundation Research Project of Shaanxi Province(2015JM5234)

作者简介: 李建英(1972-), 男, 教授. E-mail: lijy@mail.xjtu.edu.cn

钙钛矿结构的 CaCu<sub>3</sub>Ti<sub>4</sub>O<sub>12</sub>(CCTO)陶瓷具有巨介电常数( $10^4\sim 10^5$ )，在较宽温度范围(100~380 K)保持稳定，且不发生铁相变<sup>[1-3]</sup>。另外，CCTO 还表现出一定的非线性  $I-V$  特性<sup>[4-6]</sup>。然而，CCTO 较高的介电损耗(约 0.1~0.6)和较低的击穿场强(约 1.0~3.0 kV/cm)限制了其应用。关于 CCTO 陶瓷巨介电特性的物理机制，有多种理论解释，如结构阻挡型铁电松弛<sup>[7]</sup>、基于 M-W 极化的电极界面效应<sup>[8]</sup>和内部阻挡层电容效应<sup>[9-10]</sup>、慢陷阱电荷重排模型<sup>[11]</sup>等。目前研究较为成熟的内部阻挡层电容(Internal Barrier-Layer capacitor, IBLC)模型已被最广泛接受。Sinclair 等<sup>[10, 12]</sup>通过测量 CCTO 陶瓷在不同温度下的交流复阻抗谱，并基于 IBLC 模型认为 CCTO 是由半导性的晶粒和绝缘晶界组成。Chung 等<sup>[4]</sup>测量了 CCTO 晶粒上和晶粒间(晶界)的微区  $J-E$  特性，发现晶粒具有近欧姆特性且电导较大，晶界存在势垒并表现出非欧姆特性，解释了 CCTO 陶瓷的压敏特性。

近年来，研究者通过掺杂第二相来改善 CCTO 陶瓷的性能。常用的第二相有氧化物(HfO<sub>2</sub>、MgO 等)和与 CCTO 结构类似的钛酸盐(MgTiO<sub>3</sub>、SrTiO<sub>3</sub>、CaTiO<sub>3</sub>、Bi<sub>4</sub>Ti<sub>3</sub>O<sub>12</sub> 等)。Yuan 等<sup>[13]</sup>制备了 CCTO-20wt% HfO<sub>2</sub> 复相陶瓷，认为 CCTO 陶瓷中晶粒异常长大完全被压制，介电常数下降。Yuan 等<sup>[14]</sup>用 Sol-Gel 方法合成 CCTO 和 MgTiO<sub>3</sub> 粉末，制备了 CCTO-MgTiO<sub>3</sub> 复相陶瓷，晶粒尺寸减小，势垒高度基本不变，击穿场强提高至 12 kV/cm，这是由于样品单位体积 Schottky 势垒数量增加，使得击穿场强上升。这些大多通过控制晶粒尺寸和晶界密度来改善 CCTO 陶瓷的介电性能，若想大幅提高击穿场强，可以通过提高晶界的绝缘性、Schottky 势垒高度以及减少富铜相在晶界处的积聚来实现。

CCTO 陶瓷的介电性能与材料的显微结构有关<sup>[15-18]</sup>。用 X 射线光电子能谱(XPS)和 X 射线衍射(XRD)分析发现 CCTO 在烧结降温过程中容易析出半导性的富铜相，富铜相主要由 Cu<sup>+</sup>组成，同时也含有 Cu<sup>2+</sup> 和 Cu<sup>3+</sup>，可作为烧结助剂促进液相烧结，使 CCTO 晶粒生长不均匀，晶界电阻减小，异常长大的晶粒会对 CCTO 陶瓷的介电性能产生巨大影响<sup>[19-20]</sup>。我们前期研究采用液相共沉淀法在 CCTO 中掺杂适量的 Al<sub>2</sub>O<sub>3</sub>，Al<sub>2</sub>O<sub>3</sub> 和富铜相在样品的晶界区域反应，原位生成了尖晶石型 CuAl<sub>2</sub>O<sub>4</sub>。Al<sub>2</sub>O<sub>3</sub> 掺杂量为 50mol% 的样品电导过程受到抑制，低频损耗减小，击穿场强提高至 21 kV/cm<sup>[21-22]</sup>。在此基础上，本工作直接将 CuAl<sub>2</sub>O<sub>4</sub> 作为第二相添加到 CCTO 中制备复相陶瓷，研究样品介电性能和非线性  $J-E$  特性随

CuAl<sub>2</sub>O<sub>4</sub> 含量的变化规律，结合显微观察，探讨 CuAl<sub>2</sub>O<sub>4</sub> 对 CCTO 陶瓷性能和松弛机理的影响。

## 1 实验方法

通过混合 CCTO 和 CuAl<sub>2</sub>O<sub>4</sub> 粉体制备了 CCTO- $x$ CuAl<sub>2</sub>O<sub>4</sub>( $x=0$ 、30mol%、50mol%、100mol%、200mol%)复相陶瓷。以高纯的 CaCO<sub>3</sub>(99.0%)、CuO(99.0%)和 TiO<sub>2</sub>(99.0%)为原料，按化学计量比混合置于无水乙醇中球磨 12 h，烘干后在 950℃煅烧 10 h，得到 CCTO 粉体。以去离子水为溶剂，按化学计量比称取化学纯的 Cu(NO<sub>3</sub>)<sub>2</sub>·3H<sub>2</sub>O 和 Al(NO<sub>3</sub>)<sub>3</sub>·9H<sub>2</sub>O 配置成溶液，并逐滴加入 NaOH 溶液，直至混合液呈碱性且产生沉淀；加热至 100 ℃并恒温搅拌 1 h，将沉淀抽滤洗涤，烘干碾碎后在 950 ℃煅烧 4 h，得到 CuAl<sub>2</sub>O<sub>4</sub> 粉体<sup>[23]</sup>。按配比混合 CCTO 和 CuAl<sub>2</sub>O<sub>4</sub> 粉体，经球磨、干燥和造粒后得到所需复相陶瓷粉体。将该粉体造粒后压制成  $\phi 12 \text{ mm} \times 1.6 \text{ mm}$  的圆片生坯，在 1100 ℃下分别烧结 4 h 和 10 h 得到陶瓷样品。

利用 X 射线衍射仪(Regaku D/MAX IIIB)分析了样品的物相组成，采用扫描电子显微镜(SEM, Jeol JSM-6390A)观察样品表面显微形貌。打磨样品、溅射金电极用以测量样品的电学性能，采用直流稳压源(WJ10001D)和多功能数字表(HP34401A)测量室温下样品的  $J-E$  特性；采用 Novocontrol 宽频介电谱仪与阻抗谱仪在频率为  $10^{-1}\sim 10^7 \text{ Hz}$ 、温度为 153~453 K 的条件下测量样品的介电性能。

## 2 结果与讨论

### 2.1 相组成与显微形貌

1100℃下烧结 4 h 的 CuAl<sub>2</sub>O<sub>4</sub> 样品和 CCTO- $x$ CuAl<sub>2</sub>O<sub>4</sub>( $x=0$ 、30mol%、50mol%、200mol%)陶瓷样品的 XRD 图谱如图 1(a)所示，结果显示，在 CCTO 陶瓷样品和 CuAl<sub>2</sub>O<sub>4</sub> 样品中分别存在钙钛矿 CCTO 相和尖晶石 CuAl<sub>2</sub>O<sub>4</sub> 相，而复相陶瓷样品中同时存在上述两相。随着 CuAl<sub>2</sub>O<sub>4</sub> 添加量的增加，CuAl<sub>2</sub>O<sub>4</sub> 相对应的衍射峰强度逐渐增强。图 1(b)为添加 200mol% CuAl<sub>2</sub>O<sub>4</sub> 的样品抛光热腐蚀后的 BSEM 形貌照片，可观察到样品中存在两类不同形状的晶粒，即等轴晶粒(A)和形状尖锐的晶粒(B)。表 1 为图 1(b)中对应测试点的 EDS 能谱测量结果，结合 XRD 测试结果，等轴晶粒 A 主要成分为 CCTO，同时存在少量的 Al 元素；而形状尖锐的晶粒 B 富含大

量的 Al 元素，是以  $\text{CuAl}_2\text{O}_4$  存在的第二相。

为了分析  $\text{CuAl}_2\text{O}_4$  掺杂对 CCTO 陶瓷显微形貌的影响，通过 SEM 观察了不同组分 CCTO- $x\text{CuAl}_2\text{O}_4$  陶瓷的表面形貌，如图 2 所示。在  $1100^\circ\text{C}$  烧结 4 h (图 2(a)) 和 10 h (图 2(b)) 的 CCTO 陶瓷样品均出现晶粒异常长大现象，晶粒尺寸分布范围较大，分别为 2~30  $\mu\text{m}$  和 2~50  $\mu\text{m}$ ；从图 2(c) 和 2(d) 可以看出，掺杂 CCTO-50mol%  $\text{CuAl}_2\text{O}_4$  陶瓷样品的晶粒基本小于 10  $\mu\text{m}$ ，且尺寸分布均匀。另外，从图 2 可以看出烧结时间为 10 h 的样品晶粒尺寸大于烧结 4 h 的样品。上述现象说明，适量的  $\text{CuAl}_2\text{O}_4$  (30mol%~50mol%) 作为第二相添加到 CCTO 陶瓷中，阻碍了

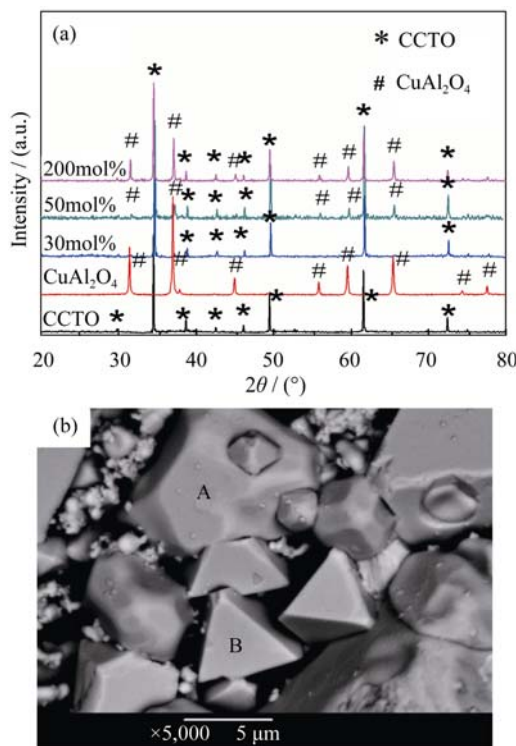


图 1  $1100^\circ\text{C}$  烧结 4 h 的 CCTO- $x\text{CuAl}_2\text{O}_4$  ( $x=0$ 、30mol%、50mol%、200mol%) 陶瓷样品和  $\text{CuAl}_2\text{O}_4$  样品的 XRD 图谱(a),  $x=200\text{mol}\%$  样品的 BSEM 照片(b)

Fig. 1 XRD patterns of CCTO- $x\text{CuAl}_2\text{O}_4$  ( $x=0$ , 30mol%, 50mol%, 200mol%) composite ceramics and  $\text{CuAl}_2\text{O}_4$  samples sintered at  $1100^\circ\text{C}$  for 4 h (a) and BSEM image of sample with 200mol%  $\text{CuAl}_2\text{O}_4$  (b)

表 1 图 1(b) 中测试点的 EDS 能谱结果

Table 1 EDS results for the marked points in Fig. 1(b)

Element /at%	A	B
O	10.54	13.53
Al	2.84	27.91
Ca	10.68	6.55
Ti	38.93	10.90
Cu	37.01	41.11

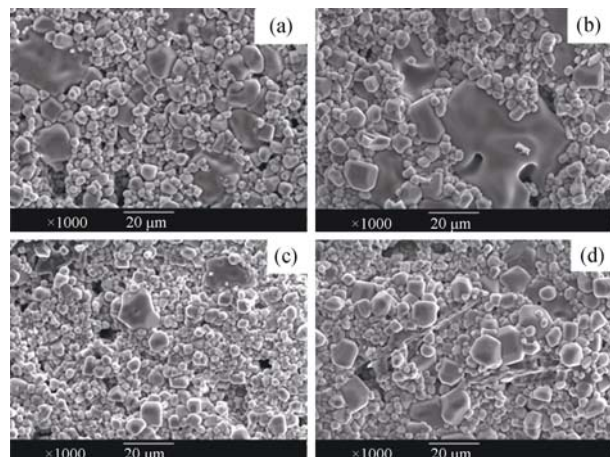


图 2 不同组分和烧结条件下 CCTO- $x\text{CuAl}_2\text{O}_4$  陶瓷的 SEM 照片

Fig. 2 SEM image of CCTO ceramics  
CCTO ceramics sintered at  $1100^\circ\text{C}$  for 4 h (a) and 10 h (b); CCTO-50mol%  $\text{CuAl}_2\text{O}_4$  ceramics sintered at  $1100^\circ\text{C}$  for 4 h (c) and 10 h (d)

CCTO 晶粒的直接接触，第二相的钉扎作用影响了烧结时的传质过程和晶界迁移，从而抑制了 CCTO 大晶粒生长，使晶粒尺寸趋于均匀。延长烧结时间使得样品在晶界处容易析出更多富铜相，而富铜相可作为烧结助剂促进液相烧结，导致晶粒出现较宽的尺寸分布<sup>[19-20]</sup>。

## 2.2 J-E 特性和介电性能

对压敏陶瓷来说，伏安特性由  $I=(U/C)^\alpha=kU^\alpha$  表示，其中， $\alpha$  为非线性系数，工程上常用  $\alpha=\lg(I_1/I_2)/\lg(V_1/V_2)$  进行计算，其中电流  $I_1=1\text{ mA}$ ,  $I_2=0.1\text{ mA}$ ,  $V_1$  和  $V_2$  为对应电压，击穿场强  $E_b$  取电流在 1 mA 时的场强。图 3(a) 为  $1100^\circ\text{C}$  烧结 4 h 和 10 h 的陶瓷样品的非线性系数  $\alpha$  和击穿场强  $E_b$  随  $\text{CuAl}_2\text{O}_4$  含量的变化曲线，可以看出  $\alpha$  和  $E_b$  都随着  $\text{CuAl}_2\text{O}_4$  含量的增加呈现先增大后减小的变化规律。 $1100^\circ\text{C}$  烧结 4 h 和 10 h 的样品所对应的非线性系数  $\alpha$  从 5.0 分别增大至 7.3 和 6.6，然后逐渐减小至 2.0；击穿场强  $E_b$  也分别从 3.0 和 1.2 kV/cm 上升到 13.0 和 8.0 kV/cm，然后分别下降到 1.0 和 0.4 kV/cm。随着烧结时间的延长，样品的非线性系数和击穿场强都有所下降。

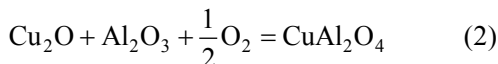
进一步对  $1100^\circ\text{C}$  烧结 4 h 的  $\text{CuAl}_2\text{O}_4$  样品和 CCTO- $x\text{CuAl}_2\text{O}_4$  ( $x=0$ 、30mol%、50mol%、100mol%、200mol%) 样品在室温下的 J-E 特性进行分析，如图 3(b) 所示。从图 3 可知除了  $x=200\text{mol}\%$  的样品，其他复相陶瓷样品均表现出明显的非欧姆特征。 $\text{CuAl}_2\text{O}_4$  样品的 J-E 关系呈线性关系且电导较大，因此掺杂量为 200mol% 的样品受  $\text{CuAl}_2\text{O}_4$  的影响更为明显，几乎观察不到非欧姆特性。

$\text{CuAl}_2\text{O}_4$  掺杂量为 50mol% 的样品 J-E 特性最佳，

其中  $\alpha=6$ ,  $E_b=13$  kV/cm。在 Al<sub>2</sub>O<sub>3</sub>掺杂 CCTO 的研究中发现, Al<sub>2</sub>O<sub>3</sub>可以和晶界区域积聚的富铜相反应, 原位生成 CuAl<sub>2</sub>O<sub>4</sub><sup>[21-22]</sup>, 其化学反应式为:



或者



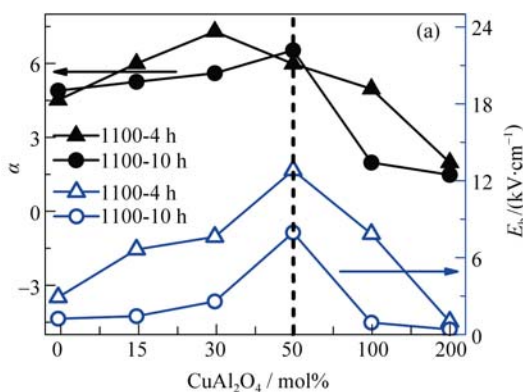
同样, Al<sub>2</sub>O<sub>3</sub>掺杂量为 50mol% 的陶瓷样品在 1100 °C 烧结 4 h 击穿场强最高, 达到 21 kV/cm, 这说明掺杂 CuAl<sub>2</sub>O<sub>4</sub> 和掺杂 Al<sub>2</sub>O<sub>3</sub> 的样品压敏特性达到最佳所需的 Al 元素掺杂摩尔比相同。但是掺杂 50mol% Al<sub>2</sub>O<sub>3</sub> 样品的击穿场强明显高于直接添加 50mol% CuAl<sub>2</sub>O<sub>4</sub> 样品的击穿场强, 这说明掺杂 Al<sub>2</sub>O<sub>3</sub> 的样品压敏特性得以改善不仅归因于样品中第二相 CuAl<sub>2</sub>O<sub>4</sub> 的作用, 而且掺杂 Al<sub>2</sub>O<sub>3</sub> 原位生成 CuAl<sub>2</sub>O<sub>4</sub> 的过程中消耗了能够促进液相烧结的富铜相, 从而降低了样品的电导。

图 4 为 1100 °C 烧结 4 h 的 CCTO-xCuAl<sub>2</sub>O<sub>4</sub> ( $x=0$ 、50mol%、100mol%) 复相陶瓷在室温下的复阻抗谱图, 内插图为高频端放大图。CCTO 陶瓷的复阻抗谱由高频段的小曲率半圆和低频段的大曲率半圆组成, 低频段的半圆明显可见, 而在高频段时曲率出现不连续现象, 对应不完整的小曲率半圆。根据 IBLC 模型, CCTO 的晶粒和晶界结构可以等效为两个并联的 RC 电路, 其复阻抗可表示为:

$$Z^* = Z - iZ'' = \frac{R_{gb}}{1 + i\omega R_{gb} C_{gb}} + \frac{R_g}{1 + i\omega R_g C_g} \quad (3)$$

其中  $Z'$  和  $Z''$  表示为:

$$Z = \frac{R_{gb}}{1 + (\omega R_{gb} C_{gb})^2} + \frac{R_g}{1 + (\omega R_g C_g)^2}$$



$$Z'' = R_{gb} \left[ \frac{\omega R_{gb} C_{gb}}{1 + (\omega R_{gb} C_{gb})^2} \right] + R_g \left[ \frac{\omega R_g C_g}{1 + (\omega R_g C_g)^2} \right] \quad (4)$$

式中  $R_g$  和  $R_{gb}$  分别为晶粒的等效电阻和晶界的等效电阻,  $C_g$  和  $C_{gb}$  分别表示晶粒和晶界的电容,  $\omega$  是角频率。对图 4 阻抗谱测试结果进行拟合得  $R_g$  和  $R_{gb}$  如表 2 所示。从表中可以看出, 随着 CuAl<sub>2</sub>O<sub>4</sub> 含量的增加, 晶粒的等效电阻基本呈现不断增大的趋势, 晶界的等效电阻从  $3.7 \times 10^7$  Ω 增大到  $2.0 \times 10^9$  Ω, 然后再降低至  $2.3 \times 10^5$  Ω, 与样品非线性系数和击穿场强变化规律相吻合。

1100 °C 烧结 4 h 的 CCTO-xCuAl<sub>2</sub>O<sub>4</sub> ( $x=0$ 、30mol%、50mol%、100mol%、200mol%) 样品在室温下的介电频率谱图如图 5 所示, 测量频率范围从  $10^7$  到  $10^1$  Hz, 其中(a)、(b) 分别代表介电常数和介电损耗与频率的关系。在  $x \leq 50$  mol% 范围内, 以  $10^6$  Hz 为频率分界点,  $10^6$  Hz 以下样品介电常数较为平稳,  $10^6$  Hz 以上样品介电常数急剧下降至 100 左右, 这种松弛极化行为的特征频率与介电损耗峰对应 (如图 5(b)), 是典型的 Debye 松弛极化<sup>[24]</sup>。随着 CuAl<sub>2</sub>O<sub>4</sub> 含量的增加, 高频范围 ( $> 10^6$  Hz) 内  $\epsilon'$  明显下降,  $\tan\delta$  峰值不断减小; 中频范围 ( $10^3$ ~ $10^6$  Hz) 内,  $\epsilon'$  数值下降,  $\tan\delta$  却明显上升。其中  $x=50$  mol% 样品  $\epsilon'$  最小, 在  $10^3$  Hz 处约为 2000,  $\tan\delta$  约为 0.2; 低频范围 ( $< 10^3$  Hz) 内,  $\epsilon'$  和  $\tan\delta$  的数值都减小, 0.1 Hz 处  $\tan\delta$  从 4.1 下降至 0.54, 样品电导过程明显受到抑制。当 CuAl<sub>2</sub>O<sub>4</sub> 掺杂量为 100mol%、200mol% 时, 样品表现出明显的电导主导特性, 介电常数的平稳性消失。

### 2.3 介电松弛过程

为了分析 CCTO-xCuAl<sub>2</sub>O<sub>4</sub> 复相陶瓷的介电松弛过程, 实验测量了不同温度下样品的介电性能。由于 CCTO 陶瓷在低频范围或较高温度下具有比较高的电导率, 该电导率会掩盖低频区的松弛极化过程,

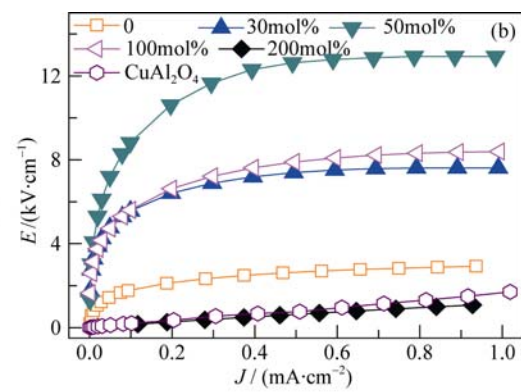


图 3 CCTO-xCuAl<sub>2</sub>O<sub>4</sub> 复相陶瓷和 CuAl<sub>2</sub>O<sub>4</sub> 样品的非线性系数( $\alpha$ )、击穿场强( $E_b$ )和  $J$ - $E$  特性

Fig. 3  $\alpha$ ,  $E_b$  and  $J$ - $E$  characteristics of the samples at room temperature

(a) Dependence of  $\alpha$  and  $E_b$  on CuAl<sub>2</sub>O<sub>4</sub> addition; (b)  $J$ - $E$  characteristics of the samples sintered at 1100 °C for 4 h with different CuAl<sub>2</sub>O<sub>4</sub> additions

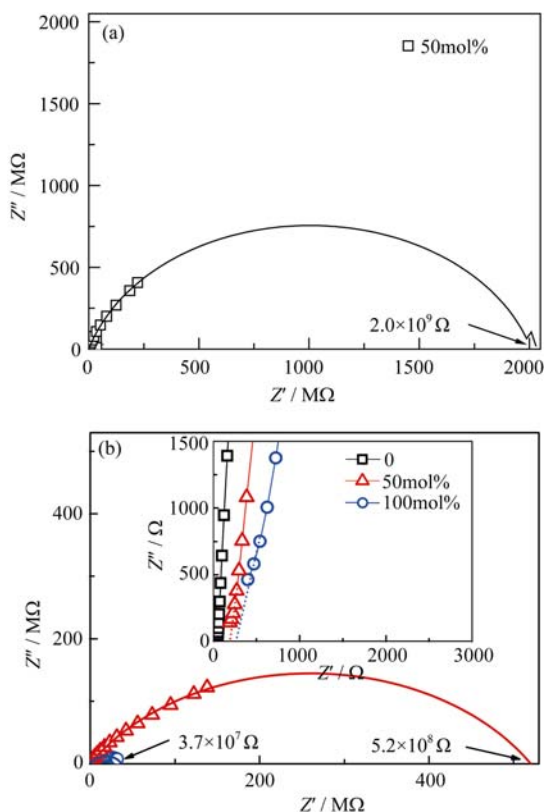


图4 1100 °C烧结4 h CCTO- $x$ CuAl<sub>2</sub>O<sub>4</sub>复相陶瓷样品在室温下复阻抗谱图

Fig. 4 Impedance spectra of CCTO- $x$ CuAl<sub>2</sub>O<sub>4</sub> composite ceramics sintered at 1100 °C for 4 h at room temperature  
(a)  $x=50\text{mol}\%$ ; (b)  $x=0, 100\text{mol}\%$

表2 室温下1100 °C烧结4 h样品的晶粒晶界等效电阻值

Table 2 Resistivity for both bulk and grain boundary of the samples sintered at 1100 °C for 4 h at room temperature

Doping ratio	$R_{gb}/\text{MΩ}$	$R_g/\text{Ω}$
0	37	47
15mol%	274	140
30mol%	426	190
50mol%	2008	203
100mol%	520	264
200mol%	0.23	-

而通过复模量  $M^*$  研究 CCTO 陶瓷极化过程, 可以抑制电导率的作用, 从而更有效地研究低频下的松弛极化现象<sup>[25]</sup>。复模量与复介电常数  $\epsilon^*$  互为倒数, 即:

$$\begin{aligned} M^* &= 1/\epsilon^* = 1/(\epsilon' - i\epsilon'') \\ &= \epsilon' / ((\epsilon')^2 + (\epsilon'')^2) + i\epsilon'' / ((\epsilon')^2 + (\epsilon'')^2) \quad (5) \\ &= M' + iM'' \end{aligned}$$

其中,  $\epsilon^*$  为复介电常数,  $\epsilon'$  和  $\epsilon''$  分别为介电常数的实部和虚部。图 6 为 1100 °C 烧结 4 h 的 CCTO-50mol% CuAl<sub>2</sub>O<sub>4</sub> 复相陶瓷样品在 153~453 K 温度范围内测量的  $M''$  随频率变化的曲线。从图 6 可以看出 CCTO-

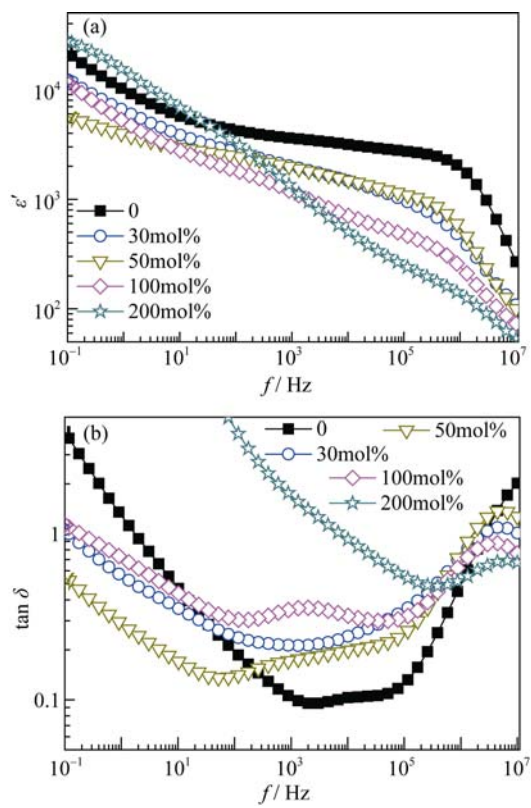


图5 1100 °C烧结4 h CCTO- $x$ CuAl<sub>2</sub>O<sub>4</sub>样品在室温下(a)  $\epsilon'$  和(b)  $\tan\delta$  随频率的变化关系

Fig. 5 Variation in dielectric constant (a) and dielectric loss  $\tan\delta$  (b) for the samples sintered at 1100 °C for 4 h with CuAl<sub>2</sub>O<sub>4</sub> addition

50mol%CuAl<sub>2</sub>O<sub>4</sub> 复相陶瓷有三种典型的特征峰 Peak1、Peak2 和 Peak3, 分别对应低温高频段、低温低频段及高温低频段下的松弛极化过程, 随着测试温度升高, 三种特征峰都向高频移动。 $M''$  的峰值频率与温度的关系符合 Arrhenius 公式, 经过拟合计算所得的峰值活化能如图 6(b) 中插图所示, 分别为 0.15、0.40 和 0.86 eV。表 3 为 1100 °C 烧结 4 h 的 CCTO- $x$ CuAl<sub>2</sub>O<sub>4</sub> ( $x=0, 50\text{mol}\%, 200\text{mol}\%$ ) 复相陶瓷的松弛活化能和击穿场强。发现随 CuAl<sub>2</sub>O<sub>4</sub> 含量增加, Peak1 对应的活化能 (~0.10 eV) 基本不变, Peak2 对应的活化能从 0.50 eV 减小到 0.22 eV, Peak3 对应的活化能从 0.66 eV 增加到 0.86 eV, CuAl<sub>2</sub>O<sub>4</sub> 过量添加 ( $x=200\text{mol}\%$ ) 时, 复相陶瓷 Peak3 消失。

由于 CCTO 为缺氧结构, 存在氧空位缺陷, 在晶粒表面能够形成 n 型接触的耗尽层结构, 交流小信号下耗尽层边缘的深陷阱将会不断地俘获和发射电子, 从而形成本征的电子松弛极化过程, 属于 Debye 松弛极化<sup>[26]</sup>。CCTO 本征点缺陷以氧空位为主, 添加 CuAl<sub>2</sub>O<sub>4</sub> 后, Peak1 对应的活化能基本不变, 应该由氧空位的电离过程引起<sup>[27]</sup>; 对于 Peak2 来说,

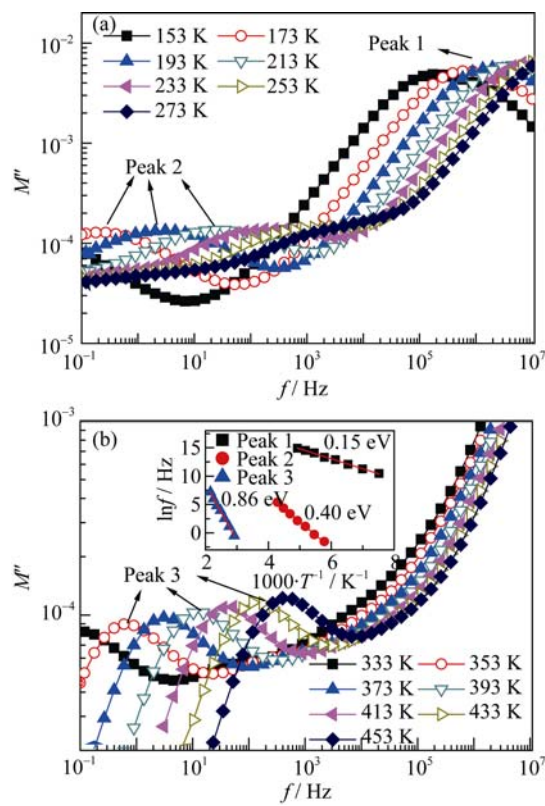


图 6 1100℃烧结 4 h CCTO-50mol%CuAl<sub>2</sub>O<sub>4</sub>样品的复模量虚部  $M''$ 与频率的关系

Fig. 6 Frequency and temperature dependence of electric modulus for CCTO-50mol% CuAl<sub>2</sub>O<sub>4</sub> composite ceramics sintered at 1100 °C for 4 h

(a) 153-273 K, (b) 333-433 K. the inset in (b) shows the energy levels of defect relaxation calculated by Arrhenius law

表 3 1100 °C烧结 4 h CCTO- $x$ CuAl<sub>2</sub>O<sub>4</sub> ( $x=0$ 、50mol%、200mol%)样品的松弛活化能和击穿场强  $E_b$

Table 3 Energy levels and breakdown field  $E_b$  of CCTO- $x$ CuAl<sub>2</sub>O<sub>4</sub> ( $x=0$ , 50mol%, 200mol%) ceramics sintered at 1100 °C for 4 h

Sample	Peak1/eV	Peak2/eV	Peak3/eV	$E_b/(kV\cdot cm^{-1})$
$x=0$	0.11	0.51	0.66	3.0
$x=50\text{mol}\%$	0.15	0.40	0.86	13.0
$x=200\text{mol}\%$	0.15	0.22	—	1.0

CuAl<sub>2</sub>O<sub>4</sub>作为第二相添加到CCTO中, 尤其当含量高达一定程度时, CCTO复相陶瓷的物相组成和内部结构已发生变化, 使 CCTO 中引入更多种类的杂质及更复杂的界面, 比如 CCTO/CCTO、CCTO/ CuAl<sub>2</sub>O<sub>4</sub> 和 CuAl<sub>2</sub>O<sub>4</sub>/CuAl<sub>2</sub>O<sub>4</sub> 等之间形成的界面, 对应的界面处松弛过程加强, 导致 Peak2 的活化能减小。

Peak3 对应低频电导的过程, 受控于晶界处的 Schottky 势垒, 其活化能就是 Schottky 势垒高度, 势垒高度可表示为<sup>[28]</sup>:

$$\phi_B = \frac{e^2 N_s^2}{2 \epsilon_0 \epsilon_r N_D} \quad (6)$$

其中  $N_s$  为界面态密度,  $N_D$  为晶粒内施主浓度, 由式(6)可知, 势垒高度与界面态密度的平方成正比, 且反比于晶粒内施主浓度。由表 3 可知, Peak3 对应的活化能在添加 50mol% CuAl<sub>2</sub>O<sub>4</sub> 后明显提高, 即晶界势垒高度增大, 这归因于 CuAl<sub>2</sub>O<sub>4</sub> 在耗尽层引入了其他的杂质能级, 导致界面态密度增大, 抑制了晶界处的载流子跳跃过程。另外, 适量 CuAl<sub>2</sub>O<sub>4</sub> 作为第二相分布于晶界区域, 抑制了晶粒生长, 使晶粒尺寸减小, 单位体积内的晶界势垒数量增多, 从而使晶界等效电阻增大, 电导受到抑制, 低频介电损耗降低。若 CuAl<sub>2</sub>O<sub>4</sub> 添加过量 ( $x=100\text{mol}\% \sim 200\text{mol}\%$ ), 由于 CuAl<sub>2</sub>O<sub>4</sub> 的电导较大, 导致复相陶瓷晶界势垒崩塌, 样品失去非欧姆特性和巨介电性能。

### 3 结论

通过混合 CCTO 和 CuAl<sub>2</sub>O<sub>4</sub> 粉体, 在 1100 °C 烧结 4 和 10 h 条件下制备了 CCTO- $x$ CuAl<sub>2</sub>O<sub>4</sub> ( $x=0$ 、30mol%、50mol%、100mol%、200mol%) 复相陶瓷, 研究了 CuAl<sub>2</sub>O<sub>4</sub> 的添加对复相陶瓷样品相组成、显微结构、 $J-E$  特性和介电性能的影响。

1)掺杂适量的 CuAl<sub>2</sub>O<sub>4</sub>(30mol%~50mol%)可以抑制样品晶粒生长, 使样品的晶粒尺寸减小并趋于均匀。

2)1100 °C烧结 4 h、CuAl<sub>2</sub>O<sub>4</sub>掺杂量为 50mol% 的样品击穿场强最高, 达到 13 kV/cm, 低于掺杂 50mol% Al<sub>2</sub>O<sub>3</sub> 样品的击穿场强(21 kV/cm)。分析认为, 掺杂 Al<sub>2</sub>O<sub>3</sub> 的样品击穿场强较高不仅归因于样品中 CuAl<sub>2</sub>O<sub>4</sub> 作为第二相的作用, 还有掺杂 Al<sub>2</sub>O<sub>3</sub> 原位生成 CuAl<sub>2</sub>O<sub>4</sub> 的过程中消耗了能够促进液相烧结的富铜相。当 CuAl<sub>2</sub>O<sub>4</sub> 掺杂量大于 100mol% 时, 过量 CuAl<sub>2</sub>O<sub>4</sub> 会导致样品晶界势垒崩塌, 失去非欧姆特性和巨介电性能。

3)高频松弛过程起源于晶粒本征缺陷的电子松弛过程, 活化能 (~0.10 eV) 基本不变; 随着 CuAl<sub>2</sub>O<sub>4</sub> 含量增大, 与界面相关的松弛活化能从 0.50 eV 减小到 0.22 eV, 与 CuAl<sub>2</sub>O<sub>4</sub> 在样品中引入杂质及更复杂的界面有关; 电导活化能从 0.66 eV 增至 0.86 eV, 归因于适量 CuAl<sub>2</sub>O<sub>4</sub> 的添加抑制了晶界处的载流子跳跃, 提高了 Schottky 势垒高度。

### 参考文献:

- SUBRAMANIAN M A, LI D, DUAN N, et al. High dielectric constant in ACu<sub>3</sub>Ti<sub>4</sub>O<sub>12</sub> and ACu<sub>3</sub>Ti<sub>3</sub>FeO<sub>12</sub> phases. *Journal of Solid State Chemistry*, 2000, **151**(2): 323–325.

- [2] HOME C C, VOGT T, SHAPIRO S, et al. Optical response of high-dielectric-constant perovskite-related oxide. *Science*, 2001, **293(5530)**: 673–676.
- [3] COHEN M H, NEATON J B, HE L X, et al. Extrinsic models for the dielectric response of  $\text{CaCu}_3\text{Ti}_4\text{O}_{12}$ . *Journal of Applied Physics*, 2003, **94(5)**: 3299–3306.
- [4] CHUNG S Y, KIM I D, KANG S J L. Strong nonlinear current-voltage behavior in perovskite-derivative calcium copper titanate. *Nature Materials*, 2004, **3(11)**: 774–778.
- [5] LIN Y H, CAI J N, LI M, et al. High dielectric and nonlinear electrical behaviors in  $\text{TiO}_2$ -rich  $\text{CaCu}_3\text{Ti}_4\text{O}_{12}$  ceramics. *Applied Physics Letters*, 2006, **88(17)**: 172902.
- [6] MARQUES V P B, BUENO P R, SIMÕES A Z, et al. Nature of potential barrier in  $(\text{Ca}_{1/4}, \text{Cu}_{3/4})\text{TiO}_3$  polycrystalline perovskite. *Solid State Communications*, 2006, **138(1)**: 1–4.
- [7] LIU Y, WITERS R L, WEI X Y. Structurally frustrated relaxor ferroelectric behavior in  $\text{CaCu}_3\text{Ti}_4\text{O}_{12}$ . *Physics Review B*, 2005, **72(13)**: 134104.
- [8] KROHNS S, LUNKENHEIMER P, EBBINGHAUS S G, et al. Colossal dielectric constants in single-crystalline and ceramic  $\text{CaCu}_3\text{Ti}_4\text{O}_{12}$  investigated by broadband dielectric spectroscopy. *Journal of Applied Physics*, 2008, **103(8)**: 084107.
- [9] HAO W T, ZHANG J L, TAN Y Q. Origin of giant dielectric permittivity in  $\text{CaCu}_3\text{Ti}_4\text{O}_{12}$  ceramics. *Journal of Inorganic Materials*, 2011, **26(10)**: 1058–1062.
- [10] SINCAIR D C, ADAMS T B, MORRISON F D, et al.  $\text{CaCu}_3\text{Ti}_4\text{O}_{12}$ : one-step internal barrier layer capacitor. *Applied Physics Letters*, 2002, **80(12)**: 2153–2155.
- [11] LUO X J, YANG C P, SONG X P, et al. Slow relaxation processes in CCTO detected by capacitance versus voltage curves. *Journal of the American Ceramic Society*, 2013, **96(1)**: 253–258.
- [12] ADAMS T B, SINCAIR D C, WEST A R. Giant barrier layer capacitance effects in  $\text{CaCu}_3\text{Ti}_4\text{O}_{12}$  ceramics. *Advanced Materials*, 2002, **14(18)**: 1321–1323.
- [13] YUAN W X, HARK S K. Investigation on the origin of the giant dielectric constant in  $\text{CaCu}_3\text{Ti}_4\text{O}_{12}$  ceramics through analyzing  $\text{CaCu}_3\text{Ti}_4\text{O}_{12}\text{-HfO}_2$  composites. *Journal of the European Ceramic Society*, 2012, **32(2)**: 465–470.
- [14] YUAN J C, LIN Y H, LU H F, et al. Dielectric and varistor behavior of  $\text{CaCu}_3\text{Ti}_4\text{O}_{12}\text{-MgTiO}_3$  composite ceramics. *Journal of the American Ceramic Society*, 2011, **94(7)**: 1966–1969.
- [15] JIA R, GU F, WU Z Y, et al. Dielectric properties of  $\text{CaCu}_3\text{Ti}_4\text{O}_{12}$  ceramics prepared by a simplified coprecipitation method. *Acta Physica Sinica*, 2012, **61(20)**: 466–472.
- [16] ZHANG L, TANG Z J. Polaron relaxation and variable-range-hopping conductivity in the giant-dielectric-constant material  $\text{CaCu}_3\text{Ti}_4\text{O}_{12}$ . *Physics Review B*, 2004, **70(17)**: 174306.
- [17] ZHOU X L, DU P Y. Effects of preparation on giant dielectric constant of  $\text{CaCu}_3\text{Ti}_4\text{O}_{12}$  ceramics. *Journal of Inorganic Materials*, 2005, **20(2)**: 484–488.
- [18] HOMES C C, VOGT T, SHAPIRO S M, et al. Charge transfer in the high dielectric constant materials  $\text{CaCu}_3\text{Ti}_4\text{O}_{12}$  and  $\text{CdCu}_3\text{Ti}_4\text{O}_{12}$ . *Physics Review B*, 2003, **67(9)**: 092106.
- [19] FANG T T, MEI L T, HO H F. Effects of Cu stoichiometry on the microstructures, barrier-layer structures, electrical conduction, dielectric responses and stability of  $\text{CaCu}_3\text{Ti}_4\text{O}_{12}$ . *Acta Materialia*, 2006, **54(10)**: 2867–2875.
- [20] MEI L T, HSIANG H I, FANG T T. Effect of copper-rich secondary phase at the grain boundary on the varistor properties of  $\text{CaCu}_3\text{Ti}_4\text{O}_{12}$  ceramics. *Journal of the American Ceramic Society*, 2008, **91(11)**: 3735–3737.
- [21] LI J Y, JIA R, TANG X, et al. Enhanced electric breakdown field of  $\text{CaCu}_3\text{Ti}_4\text{O}_{12}$  ceramics: tuning of grain boundary by a secondary phase. *Journal of Physics D: Applied Physics*, 2013, **46(32)**: 325304.
- [22] JIA R, ZHAO X T, LI J Y, et al. Colossal breakdown electric field and dielectric response of Al-doped  $\text{CaCu}_3\text{Ti}_4\text{O}_{12}$  ceramics. *Materials Science and Engineering B*, 2014, **185**: 79–85.
- [23] JACOB K T, ALCOCK C B. Thermodynamics of  $\text{CuAlO}_2$  and  $\text{CuAl}_2\text{O}_4$  and phase equilibria in the system  $\text{Cu}_2\text{O}-\text{CuO}-\text{Al}_2\text{O}_3$ . *Journal of the American Ceramic Society*, 1975, **58(5/6)**: 192–195.
- [24] SHAO S F, ZHANG J L, ZHENG P, et al. Microstructure and electrical properties of  $\text{CaCu}_3\text{Ti}_4\text{O}_{12}$  ceramics. *Journal of applied physics*, 2006, **99(8)**: 084106.
- [25] LI S T, WANG H, LIN C J, et al. Dielectric modulus response of  $\text{CaCu}_3\text{Ti}_4\text{O}_{12}$  ceramics. *Acta Physica Sinica*, 2013, **62(8)**: 087701.
- [26] YANG Y, LI S T, LI X, et al. Investigation on relaxation properties of deep bulk trap in  $\text{CaCu}_3\text{Ti}_4\text{O}_{12}$  ceramics. *Journal of Inorganic Materials*, 2012, **11(27)**: 1185–1190.
- [27] LI J Y, ZHAO X T, GU F, et al. Defects and dc electrical degradation in  $\text{CaCu}_3\text{Ti}_4\text{O}_{12}$  ceramics: role of oxygen vacancy migration. *Applied Physics Letters*, 2012, **100(20)**: 202905.
- [28] 王振林, 李盛涛. 氧化锌压敏陶瓷制造及应用. 北京: 科学出版社, 2009: 31–35.